

ФОРМИРОВАНИЕ БАЗЫ ДАННЫХ ХРОНИЧЕСКИХ ЗАБОЛЕВАНИЙ И ИССЛЕДОВАНИЕ ХАРАКТЕРИСТИК ДИАГНОСТИЧЕСКИХ СРЕД, ПОДВЕРГНУТЫХ КВЧ ОБЛУЧЕНИЮ

П.Д. Клименко, В.В. Баранов, Д.П. Клименко, Н.К. Фоменко

*Белорусский государственный университет информатики и радиоэлектроники,
E-mail: baranov@ieee.org*

Abstract. The data base has been created concerning human chronicle diseases. It is based on the obtaining human individual characteristic frequency (ICF) within the range of 40-75 GHz. The level of testing microwave irradiation signal is less than $10 \text{ mW} \cdot \text{cm}^{-2}$. Also the diagnostic media – the distilled water – has been investigated with a method of combined scattering spectroscopy. These samples had been treated with the irradiation at different frequencies within the mention range.

Биорезонансные эффекты в человеческом организме проявляются в диапазоне частот 30-100 ГГц. В этом диапазоне существует так называемая индивидуальная характеристическая частота (ИХЧ) человека [1].

Сформирована база данных по связанным со значениями ИХЧ некоторыми важными хроническими заболеваниями.

Результаты исследований, связанных с изучением корреляции значений ИХЧ и заболеваний для различных групп населения приведены в таблице 1.

Таблица 1 – Основные результаты по значениям ИХЧ и характерным хроническим заболеваниям

Значения ИХЧ, ГГц	Характерные заболевания для данной ИХЧ
54,5	Склонность к поражению слизистой желудочно-кишечного тракта эрозивного характера (язвы/эрозии); к гастродуоденитам, дискинезии желчевыводящих путей, к простатитам, аднекситам; ишемической болезни сердца (ИБС); к образованию межпозвоночных грыж.
54,6	Склонны к заболеваниям мочеполовой системы: полипы мочевого пузыря, камне- и кистообразованию в почках, (при кислой рН крови возможно развитие хронической почечной недостаточности), склонны к полипозу желудочно-кишечного тракта, особенно толстого кишечника и прямой кишки, узловой аденоме предстательной железы.
56,2	Туберкулёз бычьего типа (сопровождается менингитом); рак желудочно-кишечного тракта, рак молочной железы, рак предстательной железы
58,4	Туберкулёз человеческого типа, склонны к аллергическому гастриту, желчекаменной болезни, фибромиоме матки, мастопатии фиброзной, сахарному диабету 1-го типа
61,5	Склонность к лейкозам (заболевания белого ростка кроветворения)
70,4	Полиомиелит
72,5	Склонность к заболеваниям красного ростка костного мозга (эритропатии, анемия, тромбоцитопения и др.)

Возникновение заболеваний у каждой группы может быть связано с неспецифическими факторами: воздействием инфекционных агентов, иммунными нарушениями; токсическим воздействием недостатком поступления в организм питательных веществ и мик-

роэлементов; изменением рН внутренней среды организма; воздействием электромагнитных полей, ионизирующего излучения, влиянием геопатогенных и метеорологических факторов и др.

Таблица 2 – Данные по пробам дистиллированной воды, исследованных с помощью метода комбинационного рассеяния (КР)

Линия №	Характеристика образца	Обозначение в спектре	Данные спектра
1	Первоначальная проба дистиллированной воды (ДВ)	Initial (исходная проба ДВ)	max 3 (третий по интенсивности в диапазоне 2750-4500 см ⁻¹)
2	Проба ДВ после воздействия микроволновым излучением 70,4 ГГц в течение 3 минут	70,4	max 1
3	Проба ДВ после воздействия микроволновым излучением 54,4 ГГц в течение 3 минут	54,4	max 4
4	Проба ДВ после контакта с пациентом с ИХЧ в 70,4 ГГц в течение 5 минут	человеческий ИХЧ 70,4	max 2

В качестве носителей информации, по данным приведенным в таблице 1, выступали резонансные контуры, изготовленные по специальной технологии путём переноса информации от аппарата АМТ 04-03 в режиме фиксированной частоты с шагом 0,1 ГГц в диапазоне 53,5 – 75,5 ГГц [1].

При проведении анализа использованы также источники [2-9].

Ранее было показано, что при воздействии на пробы дистиллированной воды КВЧ излучения в интервале 40-75 ГГц происходит её структуризация и, как следствие, появляется возможность использования данных проб в качестве диагностической среды, а также для терапевтических целей.

Указанные свойства дистиллированной воды исследованы с помощью метода комбинационного рассеяния на пробах дистиллированной воды, подверженной микроволновому облучению на различных частотах в указанном выше диапазоне. При этом использован прибор SpectroPro 500i, Action, США.

Пробы дистиллированной воды облучались микроволнами с низкой интенсивностью (до 10 мкВ/см²) через антенну рупорного типа от аппарата миллиметровой терапии АМТ 04-02 производства фирмы «Коверт», Москва в течение 3 минут. Заранее (непосредственно перед облучением) пробы дистиллированной воды деструктурировались.

Данные по пробам дистиллированной воды (ДВ) приведены в таблице 2.

Спектры комбинационного рассеяния, соответствующие этим пробам, показаны на рис. 1.

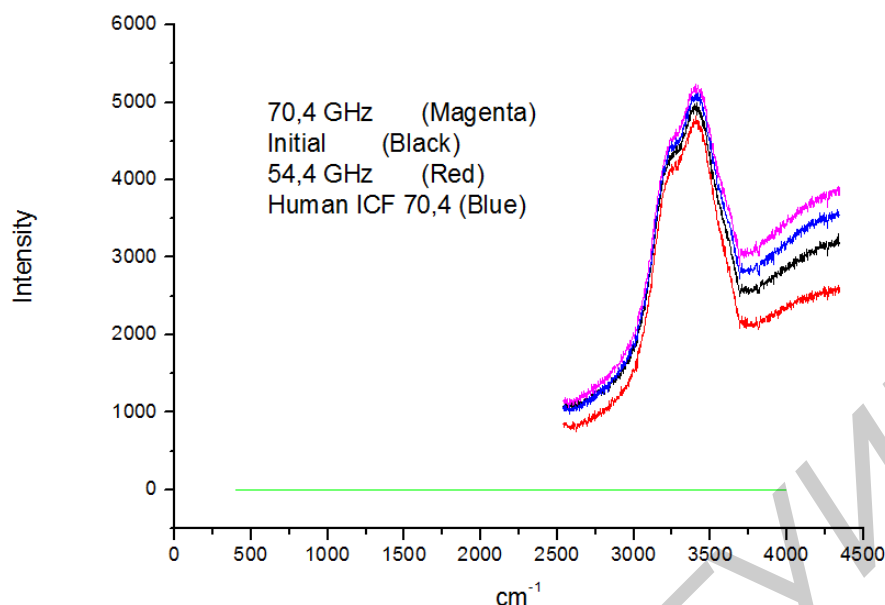


Рисунок 1 – Спектры комбинированного рассеяния проб ДВ

Согласно полученным данным видно, что после воздействия микроволнового облучения на различных частотах на образцы воды происходит изменение показателя поглощения по всем диапазонам характеристических частот. Это может быть связано с тем, что чувствительные к структуре свойства дистиллированной воды изменяются по сравнению с исходными образцами воды (до воздействия микроволнового излучения). В частности, видно, что спектры, полученные от пробы 2 и пробы 4, имеют наиболее близкорасположенные максимумы. Относительно небольшое расхождение связывается с различием в интенсивности воздействия на пробу ДВ (от генератора и в результате контакта пробирки с пациентом). Данные результаты получены при 5-кратном повторении.

Литература

1. **Р. Клименко**, and V. Baranov "New possibilities in diagnostics and diseases treatment with use of bio-resonance effects", in Proc. MedElectronics-2008, Minsk, 2008, p. 189.
2. **Девятков Н.Д.**, Голант М.Б. О выявлении когерентных КВЧ колебаний, излучаемых живыми организмами / Медико-биологические аспекты миллиметрового излучения. М.: ИРЭ НАН СССР. – 1987. – С. 126-130.
3. **Пилипчук В.И.**, Смолянский В.В., Щекатолина С.А. «Журнал структурной химии», 1988, Том 29, №5. – С. 149.
4. **Хиппель А.Р.** Диэлектрики и волны. – Изд-во иностранной литературы. – М., 1961. – 438 с.
5. **Готовский Ю.В.**, Косарева Л.Б. и др. Электроакупунктурная диагностика и терапия с применением вегетативного резонансного теста "Имедис-тест". Метод, рек. - М.: Имедис, 1997. – С. 63.
6. **Готовский Ю.В.** и др. Электропунктурная диагностика и терапия с применением вегетативного резонансного теста "Имедис-тест": Метод, рекомендации. - М.: ИМЕДИС, 1997. – С. 30-54.
7. **Суханова Л.Я.** и др. Ранняя диагностика, патогенез, клиника и лечение сахарного диабета. - Новосибирск, 1983. – С. 28-30.
8. Возможность фиксации, выявления и идентификации энергоинформационных структур биологических объектов / В.С. Глебов, В.Ф. Токарев, О.С. Браво, М.В. Дорохина // Тезисы и доклады IX Международной конференции «Теоретические и клинические аспекты применения адаптивной биорезонансной терапии». Часть I. – М.: ИМЕДИС, 2003. – С. 199-209.
9. **Клименко П.Д.**, Клименко Д.П. Использование вегетативных резонансных тестов в сочетании с определением человеческой ИХЧ для дифференцированного подхода к вакцинации, Proc. MedElectronics-2008, Минск, Декабрь 2008. – С. 97.